

مقایسه عملکرد کینتواستاتیکی مکانیزم‌های موازی کروی مستخرج از سنتز نوعی با مدل‌سازی لقی در مفاصل غیر فعال

سید مجتبی سید موسوی^۱، مهدی طالع ماسوله^{۱*}، احمد رضا خوگر^۲

^۱ دانشکده مهندسی برق و کامپیوتر، دانشگاه تهران، تهران، ایران،

^۲ مجتمع دانشگاهی مواد و فناوری‌های ساخت، دانشگاه صنعتی مالک اشتر، تهران، ایران

تاریخچه داوری:

دریافت: ۱۳۹۷-۰۵-۰۴

بازنگری: ۱۳۹۷-۱۱-۱۸

پذیرش: ۱۳۹۷-۱۲-۲۰

ارائه آنلاین: ۱۳۹۷-۱۲-۲۷

کلمات کلیدی:

ربات موازی کروی

تحلیل دقت

لقی مفصل

حساسیت سینماتیکی

خلاصه: از مکانیزم موازی کروی برای دوران جسم حول یک نقطه ثابت استفاده می‌شود. تاکنون آرایش‌های سینماتیکی مختلفی برای این ربات با سه درجه آزادی دورانی بدست آمده است. متداول‌ترین ساختار مورد استفاده برای این ربات، آرایش سینماتیکی ۳-آر.آر. است که ساختاری بیشینه‌مقید بوده و موجب دشواری‌هایی در ساخت و مونتاژ این ربات می‌شود. در این مقاله دو ساختار نایبیشینه‌مقید ۳-آر.آر.آس و ۳-آر.آس.آر. مستخرج از سنتز نوعی، از نقطه نظر دقت بر اساس لقی مفاصل با ساختار بیشینه‌مقید مورد مقایسه قرار گرفته‌اند. بدین‌منظور ابتدا مدلی برای خطای سکوی متحرک بر مبنای لقی مفاصل معرفی شده‌است که به یک مسئله بهینه‌سازی محدب منجر می‌شود. سپس بیشینه شش مؤلفه خطای سکوی متحرک در بیش از ۱۰۰۰ جهت‌گیری مختلف از فضای کاری تعریف شده برای هر یک از ربات‌ها محاسبه شده است. نتایج نشان دادند که خطای مجری نهایی به پیکربندی ربات بستگی دارد. همچنین با مقایسه نتایج مشخص شد که ساختار ۳-آر.آر.آر. خطای جابجایی نقطه‌ای کمتری نسبت به سایرین دارد، در حالی که خطای جهت‌گیری ساختار ۳-آر.آر.آس کمتر از دو ساختار دیگر است که نشان می‌دهد می‌توان از ساختارهای نایبیشینه‌مقید به جای ساختار بیشینه‌مقید در طراحی این ربات استفاده نمود. در نهایت نیز مقایسه‌ای بین شاخص‌های عملکردی کینتواستاتیکی با مدل ارائه شده صورت گرفته است.

۱- مقدمه

سینماتیکی RRR-3 است که یک مکانیزم موازی بیشینه‌مقید^۱ است. در این ساختار، محور همه مفاصل باید از یک نقطه ثابت مشترک که مرکز دوران نامیده می‌شود، عبور کنند. از این‌رو چنین ساختاری دقت ساخت و مونتاژ بالایی را می‌طلبد و هنگامی که خطاهای هندسی رخ دهد، مونتاژ کردن آن بسیار دشوار شده و مکانیزم تحت بارهای داخلی زیادی قرار می‌گیرد. از مزایایی که برای این ساختار بر شمرده‌اند، می‌توان به صلبیت بالا و در نتیجه دقت زیاد با توجه به بیشینه مقید بودن ساختار آن اشاره کرد که این امر منجر به نیاز به دقت ساخت بالا و در نتیجه افزایش هزینه ساخت می‌شود. تاکنون تحقیقات گوناگونی روی سنتز ابعادی این ربات صورت گرفته است. هدف مشترک اکثر این تحقیقات، بهینه‌سازی مکانیزم به منظور دستیابی به بیشینه فضای کاری و مهارت^۲ بوده است [۸-۱۵].

در سال‌های اخیر ربات‌های موازی با درجات آزادی محدود (درجه آزادی کمتر از ۶) به دلیل ساختار مکانیکی ساده‌تر، هزینه ساخت کمتر و الگوریتم کنترلی ساده‌تر، مورد توجه بسیاری قرار گرفته‌اند. یکی از انواع این ربات‌ها، ربات‌های موازی کروی^۱ هستند که بیش از ۲۰ سال است که توسط دانشمندان حوزه رباتیک مورد مطالعه قرار گرفته‌اند. علت اصلی این توجه، کاربردهای فراوانی می‌باشد که در آن‌ها نیاز به دوران یک جسم حول نقطه‌ای ثابت است. این ربات‌ها در مواردی که تنها به درجات آزادی دورانی نیاز است، مانند دستگاه تنظیم جهت‌گیری سریع و پایدار‌کننده دوربین [۱ و ۲]، تجهیزات پزشکی [۳]، ماشین‌های ابزار [۴] و سیستم‌های هدایت آتن و صفحات خورشیدی کاربرد دارند.

متداول‌ترین ربات موازی کروی، ربات موازی کروی با آرایش

1 Spherical Parallel Manipulator

* نویسنده عهده‌دار مکاتبات: m.t.masouleh@ut.ac.ir

2 Overconstrained

3 Dexterity

حقوق مؤلفین به نویسنده‌گان و حقوق ناشر به انتشارات دانشگاه امیرکبیر داده شده است. این مقاله تحت لیسانس آفرینندگی مردمی (Creative Commons License) در دسترس شما قرار گرفته است. برای جزئیات این لیسانس، از آدرس <https://www.creativecommons.org/licenses/by-nc/4.0/legalcode> دیدن فرمائید.



به مفصل نسبت به هم می‌شود، یکی از دلایل عمدۀ ایجاد خطای و عملکرد ضعیف در مکانیزم‌هاست که مستقیماً روی خطای موقعیت و جهت‌گیری مجری نهایی تأثیر می‌گذارد. به همین دلیل و همچنین به سبب اینکه تنها تفاوت سه ربات مورد مطالعه، مفاصل استفاده شده در ساختار آن‌هاست و شکل و ابعاد لینک‌ها و در نتیجه خطای ساخت آن‌ها یکسان است، در این مقاله به بررسی و مقایسه دقت سه ربات بر اساس لقی مفاصل پرداخته خواهد شد.

مطالعات زیادی روی تأثیر لقی مفاصل بر دقت موقعیت ربات‌های موازی صورت گرفته است. برخی از آن‌ها خطای موقعیت ناشی از لقی مفاصل را با استفاده از روش‌های تصادفی^۹ محاسبه کرده‌اند [۲۲]. بسیاری نیز از روش‌های تحلیلی بهره جسته‌اند. اینوچنتی [۲۳] و ونانزی و همکاران [۱۶] با استفاده از روش کار مجازی، تأثیر لقی مفاصل بر روی دقت مجری نهایی را تحت یک بار خارجی محاسبه کرده‌اند. سای و همکاران [۲۴] با استفاده از مفهوم لینک لقی معادل^{۱۰}، خطای ربات را محاسبه کرده‌اند. وگلود و همکاران [۲۵] مرزهای خطای ربات را با استفاده از تکیکی به نام ایجاد فضای کاری^{۱۱} مشخص کرده‌اند. لین و چن [۲۶] با استفاده از نوشتار ماتریسی، رابطه بین خطای ربات و لقی مفاصل را در ربات‌های صفحه‌ای بدست آورده‌اند. منگ و همکاران [۱۷] یک مدل خطای پیش‌بین بر پایه تئوری پیچه به منظور یافتن بیشینه خطای مجری نهایی در فضای کاری ربات را معرفی کرده‌اند. بیناود و همکاران [۱۸] نیز با روشی مشابه مرجع [۱۷] و بر اساس شاخص حساسیت سینماتیکی ارائه شده در مرجع [۲۷]، دو شاخص حساسیت سینماتیکی بر اساس لقی مفاصل معرفی کرده‌اند.

علاوه بر روش‌های فوق، برای مقایسه دقت ربات‌ها، از شاخص‌های سینماتیکی- استاتیکی^{۱۲} نیز استفاده می‌شود. تاکنون شاخص‌های سینماتیکی- استاتیکی مختلفی برای سنجش و مقایسه دقت و کارایی ربات‌ها معرفی شده‌اند [۲۸-۳۱]. مطالعات نشان داده‌اند که این شاخص‌ها بخصوص در مواردی که ماتریس ژاکوبین ربات همگن نیست، تعبیر فیزیکی واقع‌بینانه‌ای ارائه نمی‌دهند [۲۷، ۲۹ و ۳۲-۳۳]. همچنین با توجه به اینکه شاخص‌های مذکور مبتنی بر ژاکوبین

تحقیقات مختلفی نیز روی ساختارهای نابیشینه‌مقیدی^۱ که قابلیت ایجاد الگوی حرکتی کروی دارند، صورت گرفته است. در این رابطه ساختارهای مقایر نابیشینه‌مقید مختلفی نظری ۳-RUU [۹، ۳-آر.سی.سی.^۳ [۱۰] و ۳-آر.آر.اس.^۴ [۱۱ و ۱۲] معرفی شده‌اند. کنگ و گسلاین [۱۳] نیز با روشی بر مبنای تئوری پیچه^۵ به سنتز نوعی ربات‌های موازی کروی پرداخته و کلیه ساختارهای بیشینه و نابیشینه مقید را که قابلیت ایجاد الگوی حرکتی کروی را دارند، بدست آورده‌اند. در واقع هدف این تحقیقات، کاهش تعداد شروط هندسی مورد نیاز در ساختارهای بیشینه‌مقید است.

خطاهای ساخت و مونتاژ همواره یکی از دغدغه‌های اساسی پژوهشگران و همچنین طراحان بوده است. مزیت ساختارهای نابیشینه‌مقید این است که در این ساختارها، حتی با وجود خطاهای ساخت، مونتاژ ربات امکان‌پذیر است [۱۴ و ۱۵]. اما از سوی دیگر این مزیت می‌تواند روی دقت ربات تأثیرگذار باشد. از این‌رو در این مقاله دقت ربات موازی کروی با ساختار متداول و بیشینه‌مقید با ساختار 3-RRR با دو ساختار نابیشینه‌مقید ۳-آر.آر.اس و ۳-آر.اس. آر^۶ مورد مقایسه قرار خواهد گرفت. علت انتخاب این دو ساختار این است که در این ساختارها تنها با جایگزینی یک مفصل کروی که یکی از مفاصل پرکاربرد در رباتیک می‌باشد، به جای یک مفصل لولایی در هر شاخه و با حفظ ابعاد و ساختار سایر اجزای ربات، می‌توان قیدهای اضافی را حذف کرده و ساختار بیشینه‌مقید را به یک ساختار نابیشینه‌مقید تبدیل نمود.

عوامل زیادی وجود دارند که می‌توانند باعث ایجاد خطای در موقعیت و جهت‌گیری و کاهش دقت ربات شوند. تأثیر برخی از این عوامل نظری خطای ساخت، خطای مونتاژ و خطای محرک‌ها^۷ را می‌توان با کالیبراسیون و کنترل مبتنی بر مدل خنثی کرد. اما از سوی دیگر از بین بردن تأثیر خطای ناشی از لقی مفاصل^۸ با توجه به ماهیت تصادفی آن بسیار دشوار است [۱۶-۲۱]. لقی در مفاصل، که باعث ایجاد درجات آزادی بیشتری در حرکت نسبی دو عضو متصل

1 Non-Overconstrained

2 3-RUU

3 3-RCC

4 3-RRS

5 Screw Theory

6 3-RSR

7 Actuator Error

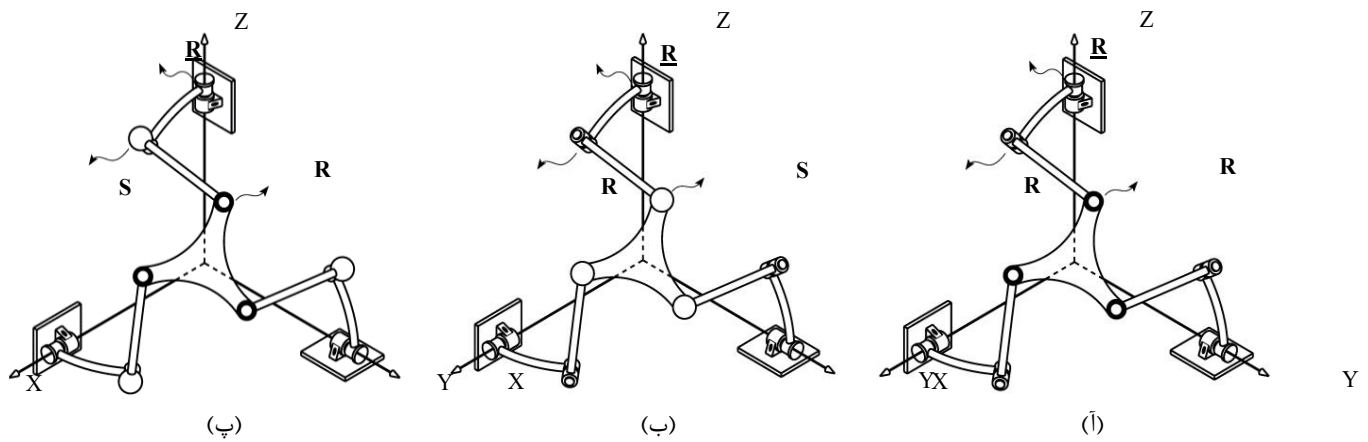
8 Joint Clearance

9 Stochastic Methods

10 Equivalent Clearance Link

11 Workspace Generation

12 Kinetostatic Indices



شکل ۱: ساختار سینماتیکی ربات‌های مورد بررسی. (آ) ساختار ربات موازی کروی RRR-۳. (ب) ساختار ربات موازی کروی RRS-۳. (پ) ساختار ربات موازی کروی RSR-۳.

Fig. 1: Kinematic architecture of under study manipulators. (a) 3-RRR SPM. (b) 3-RRS SPM. (c) 3-RRR SPM

ساختار این مقاله بدین گونه است که ابتدا ساختار سینماتیکی ربات‌های مذکور معرفی شده‌اند. پس از آن مدلی برای یافتن خطای سکوی متحرک^۱ بر مبنای لقی مفاصل معرفی و بیشینه هر یک از مؤلفه‌های خطای سکوی متحرک ربات‌ها در بیش از ۱۰۰۰ جهت‌گیری مختلف در فضای کاری ربات‌ها محاسبه شده است. سپس بیشینه خطای جهت‌گیری و جابجایی نقطه‌ای سه ربات با یکدیگر مقایسه شده است. سپس متداول‌ترین شاخص‌های عملکردی معرفی و در فضای کاری مورد بررسی محاسبه شده‌اند. در گام بعد نیز مقایسه‌ای بین این شاخص‌ها با دقت محاسبه شده با مدل پیشنهادی در این مقاله صورت گرفته است. در بخش آخر نیز نتیجه‌گیری از این پژوهش ارائه شده است.

۲- ساختار سینماتیکی ربات‌های مورد بررسی

در سرتاسر این مقاله R, S و R_l به ترتیب برای نمایش مفاصل لولایی، کروی و مفاصل لولایی فعال به کار رفته‌اند. ساختار ربات موازی کروی RRR-۳-آر.آر.آر.^۲ در شکل ۱ (آ) نشان داده شده است. سه زنجیره سینماتیکی یکسان، سکوی متحرک ربات را به سکوی ثابت متصل کرده‌اند. هر یک از این زنجیره‌های سینماتیکی از دو رابط^۳ و سه مفصل لولایی تشکیل شده است. مفاصل لولایی متصل به سکوی ثابت، فعال و سایر مفاصل غیرفعال هستند. محور هر نه

ربات هستند، در مواردی که ربات‌ها، ژاکوبین یکسان ولی ساختار سینماتیکی متفاوتی دارند، نمی‌توان از آن‌ها برای مقایسه دقت و کارایی ربات‌ها استفاده نمود. از سوی دیگر این شاخص‌ها تأثیر لقی در مفاصل غیرفعال را در نظر نمی‌گیرند، در حالی که لقی این مفاصل می‌تواند تأثیر بسزایی در خطای مجری نهایی داشته باشد. از این‌رو با توجه به اینکه سه ساختار مذکور، ماتریس ژاکوبین یکسانی دارند و تنها در نوع مفاصل غیرفعال^۱ و مکان قرارگیری آن‌ها با یکدیگر تفاوت دارند، نمی‌توان از شاخص‌های مذکور برای مقایسه استفاده نمود.

در این پژوهش به منظور مقایسه دقت سه ربات مذکور، مدلی با استفاده از تئوری پیچه برای بدست آوردن بیشینه خطای مجری نهایی بر اساس لقی مفاصل ارائه شده است. در این مدل، جابجایی‌های ناشی از لقی مفاصل به صورت پیچه‌های جابجایی کوچک^۲ در نظر گرفته شده و بیشینه خطای موقعیت و جهت‌گیری هر یک از سه ساختار مورد مطالعه در فضای کاری مورد نظر محاسبه و با یکدیگر مقایسه شده است. همچنین با توجه به اینکه همواره انتخاب یا معرفی مناسب‌ترین شاخص برای بیان دقت مکانیزم یکی از چالش‌های مهم پیش روی محققان محسوب می‌شود، مقایسه‌ای بین شاخص‌های سینماتیکی-استاتیکی متداول و دقت بدست‌آمده با مدل معروفی شده در این مقاله صورت گرفته است تا مشخص گردد، کدام شاخص بیشترین مطابقت را با دقت ربات دارد.

3 Moving Platform

4 Link

1 Passive Joints

2 Small Displacement Screw

و مقدمه‌ای کوتاه در مورد آن بیان خواهد شد.
یک گروه از تبدیلات صلب در فضای سه‌بعدی است که به $SE(3)$ صورت زیر بیان می‌شود:

$$SE(3) = \left\{ \begin{bmatrix} \mathbf{R} & \mathbf{p} \\ \mathbf{0}_3^T & 1 \end{bmatrix} \mid \mathbf{p} \in \mathbb{R}^3, \mathbf{R} \in SO(3) \right\} \quad (1)$$

که در آن $SO(3)$ یک گروه خاص دورانی و متعامد از \mathbb{R}^3 است.
با اتصال یک چارچوب کارتزین به یک جسم صلب، می‌توان موقعیت آن را نسبت به پیکربندی اولیه با استفاده از $\mathbf{T} \in SE(3)$ نشان داد. از این‌رو حرکت جسم صلب را می‌توان با استفاده از ویژگی‌های هندسی گروه $SE(3)$ مطالعه نمود.
همچنین جبر لی متناظر با گروه G با g نمایش داده می‌شود.
برای مثال جبر لی $so(3)$ متناظر با گروه $SO(3)$ شامل تمامی ماتریس‌های پادمتقارن 3×3 به صورت زیر است:

$$so(3) = \left\{ S \in \mathbb{R}^{3 \times 3}, S^T = -S \right\} \quad (2)$$

به عبارت دیگر $so(3)$ در \mathbb{R}^3 را می‌توان با نگاشت زیر نمایش داد:

$$\wedge : \mathbb{R}^3 \rightarrow so(3) : \omega \rightarrow \hat{\omega} = \begin{bmatrix} 0 & -\omega_3 & \omega_2 \\ \omega_3 & 0 & -\omega_1 \\ -\omega_2 & \omega_1 & 0 \end{bmatrix} \quad (3)$$

$so(3)$ متناظر با یک دوران بسیار کوچک جسم صلب حول یک نقطه ثابت است. جبر لی $se(3)$ متناظر با گروه $SE(3)$ نیز شامل یک ماتریس 4×4 به فرم زیر است:

$$se(3) = \left\{ \begin{bmatrix} \hat{\omega} & \mathbf{v} \\ 0 & 0 \end{bmatrix} \mid \omega, \mathbf{v} \in \mathbb{R}^3 \right\} \quad (4)$$

در نهایت با استفاده از روابط فوق می‌توان یک پیچه جابجایی کوچک که دارای شش مؤلفه می‌باشد را به صورت زیر نمایش داد:

$$\wedge : \mathbb{R}^6 \rightarrow se(3) : \xi = \begin{pmatrix} \mathbf{r} \\ \mathbf{p} \end{pmatrix} \rightarrow \hat{\xi} = \begin{bmatrix} \hat{\mathbf{r}} & \mathbf{p} \\ 0 & 0 \end{bmatrix} \in se(3) \quad (5)$$

نگاشت نمایی نیز به صورت زیر تعریف می‌شود:

مفصل لولایی باید از یک نقطه مشترک که مرکز دوران است، عبور کند. ساختار سینماتیکی ربات‌های $3-RRS$ - آر.آر.آس و $3-3-3$ - آر.آس.آر نیز در شکل‌های ۱ (ب) و ۱ (پ) نمایش داده شده است. در ربات $3-3-3$ - آر.آر.آس مفاصل لولایی متصل به سکوی متحرک با مفاصل کروی جایگزین شده‌اند و در ساختار $3-3-3$ - آر.آس.آر، این جایگزینی برای مفاصل میانی انجام گرفته است. همانطور که پیش‌تر ذکر شد، این دو ساختار نابیشینه مقید هستند و معایب ساختار بیشینه مقید را ندارند.

در ربات‌های موازی هر رابط با زاویه بین محور مفاصل لولایی دو سر آن مشخص می‌شود. این زاویه ثابت است و ابعاد رابط را نشان می‌دهد. همانطور که در شکل ۱ نشان داده شده است، زاویه α_1 ، زاویه بین دو مفصل ابتدایی است و اندازه رابط ۱ را مشخص می‌کند و زاویه α_2 نیز زاویه بین محورهای دو مفصل انتهایی است. به دلیل این که تمامی شاخه‌ها یکسان هستند، اندازه این زوایا در هر سه شاخه یکسان است. گسلاین و همکاران [۳۴] به بهینه‌سازی سینماتیکی ربات موازی کروی چشم چابک^۱ با ساختار $3-RRR$ بر اساس فضای کاری و همچنین شاخص مهارت پرداخته‌اند. بر همین اساس مشخصات سینماتیکی مورد استفاده در این مقاله همانند مشخصات سینماتیکی ربات چشم چابک است و زوایای α_1 و α_2 برابر با 90° هستند.

علاوه بر این، محور مفاصل فعل و همچنین محور مفاصل متصل به سکوی متحرک، دو به دو یکدیگر عمود می‌باشند. از این‌رو دستگاه مختصات مرجع ثابت OXYZ را می‌توان به گونه‌ای انتخاب کرد که محورهای آن در راستای محورهای مفاصل فعل قرار گیرد. همچنین دستگاه مختصات متصل به سکوی متحرک نیز به گونه‌ای انتخاب می‌شود که محورهای آن نیز در راستای محورهای مفاصل متصل به سکوی متحرک قرار گیرند. این انتخاب باعث ساده‌تر شدن روابط سینماتیکی ربات می‌شود.

۲- مدل‌سازی خط

در این بخش، به قواعد و مقررات نوشتاری و ساختاری به تفکیک و به صورت مشروح پرداخته خواهد شد. همچنین فرض شده است که خواننده با گروه اقلیدسی خاص $SO(3)$ و $SE(3)$ در جبر لی آشناست

بیان بالا برای خطای کوچک چارچوب $\{A\}$ با معادله‌های زیر تعریف می‌شوند (برای اثبات این معادله رجوع شود به مرجع [۱۷]):

$$\mathbf{T}^{-1}\mathbf{T}' - \mathbf{I} = e^{\mathbf{I}_1\delta\alpha^a}e^{\mathbf{I}_2\delta\beta^a}e^{\mathbf{I}_3\delta\gamma^a}e^{\mathbf{I}_4\delta x^a}e^{\mathbf{I}_5\delta y^a}e^{\mathbf{I}_6\delta z^a} - \mathbf{I} \approx \mathbf{I}_1\delta\alpha^a + \dots + \mathbf{I}_6\delta z^a \quad (8)$$

$$\mathbf{T}'\mathbf{T}^{-1} - \mathbf{I} = e^{\mathbf{I}_1\delta\alpha^b}e^{\mathbf{I}_2\delta\beta^b}e^{\mathbf{I}_3\delta\gamma^b}e^{\mathbf{I}_4\delta x^b}e^{\mathbf{I}_5\delta y^b}e^{\mathbf{I}_6\delta z^b} - \mathbf{I} \approx \mathbf{I}_1\delta\alpha^b + \dots + \mathbf{I}_6\delta z^b \quad (9)$$

که در آن \mathbf{I}_k به صورت زیر تعریف می‌شود:

$$\mathbf{I}_{6\times 6} = [\mathbf{I}_1 \ \mathbf{I}_2 \ \mathbf{I}_3 \ \mathbf{I}_4 \ \mathbf{I}_5 \ \mathbf{I}_6] \quad (10)$$

($\delta\alpha^b, \dots, \delta x^b$ و شش مؤلفه $\delta\alpha^a, \dots, \delta x^a$) و شش مؤلفه $\delta\alpha^b, \dots, \delta x^b$ نمایش‌دهنده سه خطای دورانی و سه خطای انتقالی جسم صلب حول محورهای x, y و z هستند. اندیس‌های a و b نیز به ترتیب نشان‌دهنده خطای نسبت به چارچوب‌های $\{A\}$ و $\{B\}$ هستند. بنابراین خطای جسم صلب صلب نسبت به چارچوب‌های $\{A\}$ و $\{B\}$ را می‌توان با بردارهای ۶ مؤلفه‌ای به صورت زیر نمایش داد:

$$\delta \mathbf{e}^a = [\delta\alpha^a \ \delta\beta^a \ \delta\gamma^a \ \delta x^a \ \delta y^a \ \delta z^a]^T \quad (11)$$

$$\delta \mathbf{e}^b = [\delta\alpha^b \ \delta\beta^b \ \delta\gamma^b \ \delta x^b \ \delta y^b \ \delta z^b]^T \quad (12)$$

همانطور که پیش‌تر ذکر شد، اگر \mathbf{T} را ماتریس انتقال از $\{A\}$ و $\{B\}$ در نظر بگیریم، با استفاده از نگاشت الحاقی^۱، خطای در چارچوب محلی $\{A\}$ می‌توان در چارچوب مرجع $\{B\}$ به صورت زیر بدست آورد:

$$\delta \mathbf{e}^b = \text{adj}(\mathbf{T}) \delta \mathbf{e}^a \quad (13)$$

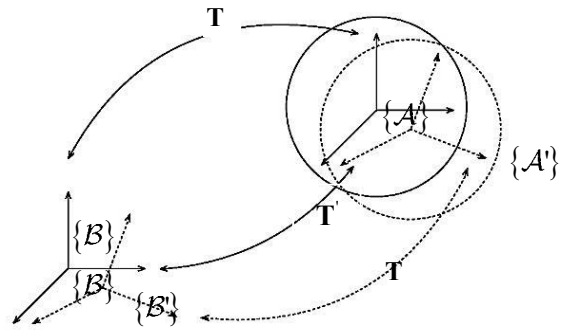
که در آن نگاشت الحاقی به صورت زیر تعریف می‌شود:

$$\text{adj}(\mathbf{T}) = \begin{bmatrix} \mathbf{R} & \mathbf{0}_{3 \times 3} \\ \mathbf{P} \mathbf{R} & \mathbf{R} \end{bmatrix} \quad (14)$$

در این رابطه \mathbf{P} ماتریس متناظر ضرب خارجی^۲ بردار \mathbf{p} است.

۳-۲- مدل خطای لقی مفصل

با در نظر گرفتن لقی در مفاصل، در حقیقت دو لینک متصل به



شکل ۲: خطای موقعیت یک لینک

Fig. 2: Pose error of one link.

$$\exp: \text{se}(3) \rightarrow \text{SE}(3): \hat{\xi} \rightarrow e^{\hat{\xi}} \quad (6)$$

از نظر فیزیکی $e^{\hat{\xi}}$ ، متناظر با حرکت پیچه در راستای محور پیچه است (رجوع شود به مرجع [۱۷]).

۳-۱- خطای موقعیت یک لینک

در این بخش با استفاده از روش ارائه شده در مرجع [۱۷] مدلی از خطای موقعیت یک لینک به دلیل لقی در مفصل را بدست خواهیم آورد. همانطور که در شکل ۲ نشان داده شده است، دستگاه مختصات محلی $\{A\}$ را متعلق به انتهای لینک در نظر بگیرید. فرض کنید ماتریس انتقال \mathbf{T} ، موقعیت $\{A\}$ را نسبت به چارچوب مرجع $\{B\}$ نشان می‌دهد. این ماتریس به صورت زیر تعریف می‌شود:

$$\mathbf{T} = \begin{bmatrix} \mathbf{R} & \mathbf{p} \\ \mathbf{0}_3^T & 1 \end{bmatrix} \in \text{SE}(3) \quad (7)$$

در این ماتریس، $\mathbf{R} \in \text{SO}(3)$ ماتریس دوران و $\mathbf{p} \in \mathbb{R}^3$ نیز بردار موقعیت مرکز چارچوب $\{A\}$ نسبت به $\{B\}$ است.

در صورت وجود خطای در موقعیت، چارچوب $\{A\}$ به چارچوب $\{A'\}$ انتقال می‌یابد. ماتریس انتقال از $\{A'\}$ به $\{B\}$ با \mathbf{T}' نشان داده می‌شود. همچنین چارچوب $\{B'\}$ را چارچوب حاصل از انتقال $\{A'\}$ با ماتریس \mathbf{T} در نظر بگیرید. واضح است که در صورت عدم وجود خطای $\{A\}$ بر $\{A'\}$ و $\{B\}$ بر $\{B'\}$ منطبق است. از این‌رو خطای موقعیت را می‌توان با $T'^{-1}\mathbf{T}'$ یعنی انتقال از $\{A'\}$ به $\{A\}$ یا با $\mathbf{T}'\mathbf{T}^{-1}$ یعنی انتقال از $\{B'\}$ به $\{B\}$ توصیف کرد. به طور معمول، خطای موقعیت $\mathbf{T}'\mathbf{T}^{-1}$ یا $\mathbf{T}^{-1}\mathbf{T}'$ در یک همسایگی کوچک حول \mathbf{I} قرار می‌گیرد. از این‌رو دو

1 Adjoint Map

2 Cross-Product Matrix

داشت. شکل ۳ یک مفصل لولایی که در آن لقی وجود دارد را نشان می‌دهد. همانطورکه در این شکل نشان داده شده است، با قرار دادن یک دستگاه مختصات محلی بر روی این مفصل به گونه‌ای که محور z آن در راستای محور مفصل و مرکز آن در مرکز مفصل قرار گیرد، در این صورت بر اساس مرجع [۱۶]، جابجایی نسبی بین رابطه‌های متصل به مفصل نسبت به دستگاه مختصات محلی را می‌توان با یک بردار ۶ مؤلفه‌ای و به صورت زیر نشان داد:

$$\delta \mathbf{e} = [\delta \alpha \quad \delta \beta \quad 0 \quad \delta x \quad \delta y \quad \delta z]^T \quad (16)$$

که در آن $\delta \alpha$ و $\delta \beta$ ، به ترتیب، مؤلفه‌های دورانی خطا حول محورهای x و y هستند و پارامترهای δx ، δy و δz نیز به ترتیب مؤلفه‌های انتقالی پیچه جابجایی کوچک $\delta \mathbf{e}$ در راستای محورهای x، y و z هستند. باید توجه داشت که مؤلفه سوم دوران $\delta \gamma$ که حول محور مفصل می‌باشد، در مفاصل غیرفعال، نباید در نظر گرفته شود، زیرا حرکت در این راستا، حرکت ایده‌آل مفصل می‌باشد ولی در مفاصل فعال به دلیل وجود خطای عملگرها و در نظر گرفتن آن‌ها، در این مقاله، این مؤلفه در نظر گرفته خواهد شد.

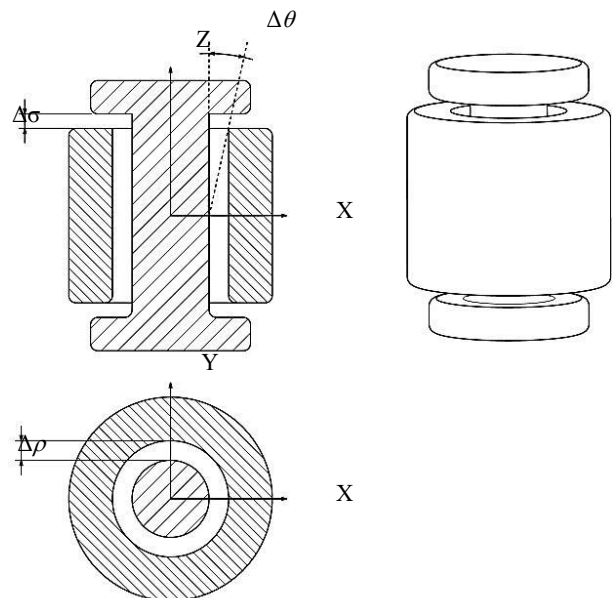
در پژوهش‌های [۱۶] و [۱۷]، از ابعاد هندسی و طراحی‌های خاص و اندازه لقی برای فرمول‌بندی محدوده خطا استفاده کرده‌اند، اما با توجه به اینکه طراحی‌های مختلف، قیدهای متفاوتی ایجاد می‌کند، در این مقاله قیدهای کلی که برای کلیه مفاصل متقاضن محوری قابل استفاده‌اند، برای بدست آوردن مرزهای خطا تعریف شده است که به صورت زیر هستند:

$$\delta \alpha^2 + \delta \beta^2 \leq \Delta \theta^2 \quad (17)$$

$$\delta x^2 + \delta y^2 \leq \Delta \rho^2 \quad (18)$$

$$\delta z^2 \leq \Delta \sigma^2 \quad (19)$$

همانطورکه در شکل ۳ نشان داده شده است، معادلات (۱۷) و (۱۸) قیدهای شعاعی هستند و معادله (۱۹) قید محوری است.



شکل ۳: مفصل لولایی تحت تأثیر لقی.

Fig. 3: Clearance-affected revolute joint.

مفصل نسبت به یکدیگر دارای ۶ درجه آزادی هستند. با فرض اینکه این جابجایی‌ها بسیار کوچک هستند، می‌توان آن‌ها را با یک پیچه جابجایی کوچک نمایش داد. بنابراین جابجایی نسبی بین دو لینک متصل به یک مفصل نسبت به دستگاه مختصات محلی متصل به مفصل، به صورت زیر است:

$$\delta \mathbf{e} = [\delta r \quad \delta p]^T = [\delta \alpha \quad \delta \beta \quad \delta \gamma \quad \delta x \quad \delta y \quad \delta z]^T \quad (15)$$

که در آن $\delta \mathbf{r} \in \mathbb{R}^3$ نشان‌دهنده سه خطای بسیار کوچک دورانی و $\delta \mathbf{p} \in \mathbb{R}^3$ نیز نمایش‌دهنده سه خطای بسیار کوچک انتقالی است.

بسته به نوع مفاصل، جابجایی‌های محلی و حرکت‌های ایده‌آل مختلفی در آن‌ها وجود دارد. با توجه به نوع مفاصل استفاده شده در ربات‌های مورد بررسی در این مقاله، به دو نوع مفصل لولایی و کروی پرداخته خواهد شد.

۱-۲-۳-۳- مفصل لولایی

در حالت ایده‌آل، یک مفصل لولایی، ۵ درجه آزادی را مقید می‌کند و تنها اجازه یک درجه آزادی دورانی را بین دو لینک می‌دهد. اما در صورت وجود لقی در مفصل، این فرض درست نیست و در این درجات آزادی مقید شده جابجایی وجود خواهد

شد. بدین منظور، ابتدا هر یک از شاخه‌های ربات را به صورت مجزا در نظر گرفته و خطای مجری نهایی در هر شاخه محاسبه می‌شود.

بدین منظور دستگاه مختصات محلی $\{R_{i,j}\}$ ه مفصل زام Δe از بازوی i ($j = 1, \dots, m$) و دستگاه مختصات مرجع

$\{B\}$ سکوی ثابت ربات متصل شده است. موقعیت هر مفصل نسبت

به $\{B\}$ بیز با ماتریس انتقال $T_{i,j}$ شان داده می‌شود. ماتریس انتقال هر مفصل با استفاده از سینماتیک معکوس ربات قابل محاسبه است.

به منظور سهولت در مراجعه، نمادهای استفاده شده در این بخش در جدول ۱ نمایش داده شده‌اند.

خطای موقعیت ناشی از لقی مفصل زام از بازوی i در چارچوب محلی $\{R_{i,j}\}$ با پیچه جابجایی کوچک $\delta e_{i,j}$ شان می‌دهیم. با در نظر گفتن $T_{i,j}$ به عنوان ماتریس انتقال از $\{R_{i,j}\}$ به $\{B\}$ همچنین با توجه به روابط بخش‌های پیشین، این خطا نسبت به چارچوب

مرجع به صورت زیر محاسبه می‌شود:

$$\delta e_{i,j}^b = \text{adj}(T_{i,j}) \delta e_{i,j} \quad (22)$$

خطای موقعیت ناشی از لقی مفاصل زنجیره سینماتیکی باز i (بازوی i) برابر است با مجموع خطاهای همه مفاصل موجود در این زنجیره و به صورت زیر محاسبه می‌شود:

$$\delta E_i = \sum_{j=1}^n \delta e_{i,j}^b = \sum_{j=1}^n \text{adj}(T_{i,j}) \delta e_{i,j} \quad (23)$$

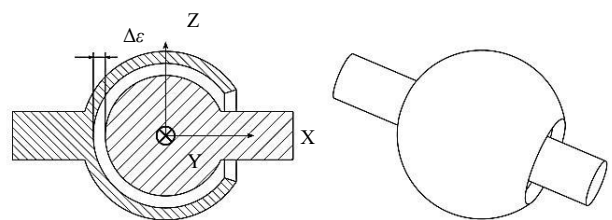
۳-۳- بیشینه خطای مجری نهایی

در این بخش، هدف، یافتن مقدار بیشینه هر یک از مؤلفه‌های خطای موقعیت سکوی متحرک ربات موازی بر اساس لقی مفاصل آن

جدول ۱: فهرست نمادهای به کاربرده شده.

Table 1: List of notations.

نماد	تعریف
$\{B\}$	چارچوب مرجع
$\{R_{i,j}\}$	چارچوب محلی متصل به مفصل زام از بازوی i
$\delta e_{i,j}$	خطای جابجایی در هر مفصل نسبت به چارچوب $\{B\}$
$\delta e_{i,j}^b$	خطای جابجایی در هر مفصل نسبت به چارچوب $\{B\}$
$T_{i,j}$	ماتریس انتقال از چارچوب $\{B\}$ به $\{R_{i,j}\}$
δE_i	تابع خطای موقعیت بازوی i
$\max \delta E$	بیشینه خطای موقعیت ربات



شکل ۴: مفصل کروی تحت تأثیر لقی.

Fig. 4: Clearance-affected spherical joint

۳-۲-۲- مفصل کروی

از نظر تئوری، یک مفصل کروی، هر جابجایی انتقالی نسبی بین دو رابط را به طور کامل مقید می‌کند، در حالی‌که اجازه سه درجه آزادی دورانی را می‌دهد. از این‌رو این سه درجه آزادی دورانی، حرکت ایده‌آل مفصل بوده و خطای ناشی از لقی در این مفصل را می‌توان به صورت زیر نمایش داد:

$$\delta e = [0 \ 0 \ 0 \ \delta x \ \delta y \ \delta z]^T \quad (20)$$

شکل ۴ یک مفصل کروی را نشان می‌دهد. تنها قیدی که حدود خطای مشخص می‌کند به صورت زیر است:

$$\delta x^2 + \delta y^2 + \delta z^2 \leq \Delta e^2 \quad (21)$$

در این رابطه Δe ندازه لقی است.

۳-۳- مدل خطای سکوی متحرک

حال با استفاده از روابط استخراج شده در بخش‌های پیشین، مدلی برای خطای مجری نهایی بر اساس لقی مفاصل ارائه خواهد

از این رو مقدار بیشینه هر یک از مؤلفه های خطای سکوی متحرک مجری نهایی برابر است با کوچکترین مقدار هر یک از این مؤلفه ها که به صورت زیر نمایش داده می شود:

$$\max \delta \mathbf{E}_k = \min \left(\max_{i=1, \dots, m} \delta \mathbf{E}_{i,k} \right) \quad , \quad 1, \quad 1, \quad (26)$$

در نهایت بیشینه خطای سکوی متحرک ربات موازی به صورت

زیر محاسبه می شود:

$$\max \delta \mathbf{E} = \left[\max \delta \mathbf{E}_1 \quad \max \delta \mathbf{E}_2 \quad \dots \quad \max \delta \mathbf{E}_6 \right]^T \quad (27)$$

لازم به ذکر است که مدل ارائه شده به ربات خاصی محدود نبوده و می توان از آن برای بدست آوردن بیشینه خطای سایر ربات های سری و موازی استفاده نمود.

۴- فضای کاری ربات

همانطور که در بخش پیش نشان داده شد، مدل بدست آمده برای خطای مجری نهایی، وابسته به موقعیت آن است. از این رو باید آن را در موقعیت های مختلف در فضای کاری قرار داده و بیشینه خطای کاری در هر موقعیت محاسبه نمود. در این مقاله برای نمایش فضای کاری ربات از زوایای اویلر $[\varphi, \theta, \psi]$ [ستفاده می شود. فضای کاری مورد مطالعه در شکل ۵ نشان داده شده است و به صورت $\varphi \in \left[-\frac{\pi}{3}, \frac{\pi}{4}\right], \theta \in \left[-\frac{\pi}{3}, \frac{\pi}{4}\right], \psi \in \left[-\frac{\pi}{3}, \frac{\pi}{4}\right]$ تعریف می شود. همچنین نمایش دکارتی فضای کاری در شکل ۵ (ب) نشان داده شده است. باید توجه داشت که این فضای کاری برای هر سه ربات یکسان است. برای محاسبه بیشینه خطای در فضای کاری معرفی شده، هر یک از ربات ها در بیش از ۱۰۰۰ جهت گیری مختلف در این فضای کاری قرار داده شده و بیشینه خطای موقعیت آن ها محاسبه شده است.

۵- مقایسه دقیق ربات ها

در این بخش، بیشینه خطای موقعیت (جابجایی نقطه ای و جهت گیری) سکوی متحرک سه ربات موازی کروی معرفی شده در بخش های پیشین بر اساس لقی مفاصل محاسبه خواهد شد. به همین منظور ابتدا باید قیدهای موجود در معادله (۲۶) که محدوده خطای را مشخص می کنند، تعیین گردند. مقدار این قیدها که در شکل های ۳ و ۴ نیز نمایش داده شده اند، به صورت زیر فرض شده است:

است. برای نیل به این هدف، ابتدا باید هر یک از شاخه ها به صورت جداگانه در نظر گرفته شده و بیشینه خطای مجری نهایی در هر یک از آن ها محاسبه شود. بر همین اساس، مسئله موجود به یک مسئله بهینه سازی تبدیل می شود که به صورت زیر است:

$$\max \delta \mathbf{E}_{i,k} = \underset{j=1}{\text{maximize}} \sum_{j=1}^n \mathbf{I}_k \text{adj}(\mathbf{T}_{i,j}) \delta \mathbf{e}_{i,j}$$

تحت قیود

$$\begin{cases} \delta \alpha_{i,j}^2 + \delta \beta_{i,j}^2 \leq \delta \theta_{i,j}^2 \\ \delta x_{i,j}^2 + \delta y_{i,j}^2 \leq \delta \rho_{i,j}^2 \\ \delta z_{i,j}^2 \leq \delta \sigma_{i,j}^2 \end{cases} \Rightarrow \text{برای مفاصل لولایی} \quad (24)$$

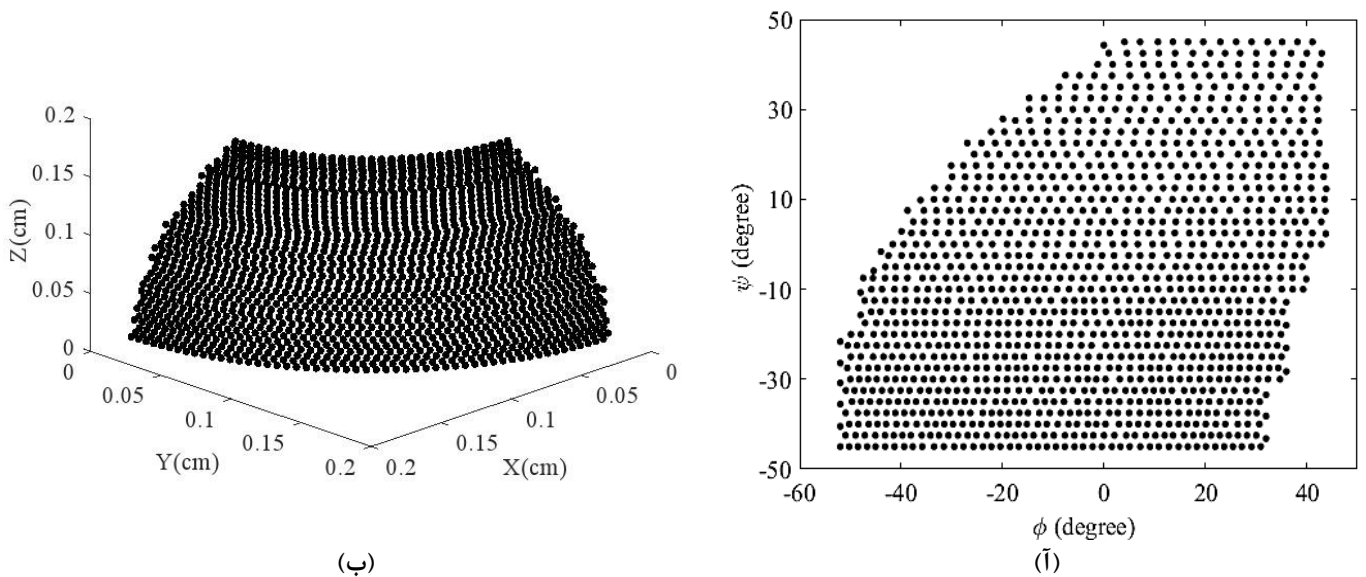
$\delta \mathbf{E}_{i,k}$ در رابطه (۱۰) تعریف شده است و \mathbf{I}_k موزعه k ام ($k = 1, 2, \dots, 6$) خطای موقعیت بازوی i ام است. همچنین به منظور در نظر گرفتن خطای عملگرها، باید یک قید دیگر برای مؤلفه سوم دوران مفاصل لولایی فعال به صورت زیر در نظر گرفته شود:

$$\delta \gamma_{i,j}^2 \leq \delta \omega_{i,j}^2 \quad (25)$$

تابع هدف معادله (۲۴) یک تابع خطی است که خطای جابجایی در مفاصل را به خطای موقعیت سکوی متحرک نگاشت می دهد، از سوی دیگر قیدهایی که برای مؤلفه های خطای مفاصل و با توجه به مدل لقی آن ها بدست آمده اند، همگی نمایانگر سطح داخلی دایره (روابط (۱۷) و (۱۸)) و حجم داخل کره (رابطه (۲۱)) هستند و می توان نتیجه گرفت که این قیدها محدب می باشند.

مسئله بهینه سازی محدب، مسئله ای است که تابع هدف و تمامی قیدهای آن محدب باشند. از این رو با توجه به خطی بودن تابع هدف و محدب بودن قیدهای مسئله، می توان نتیجه گرفت که مسئله پیش رو یک مسئله محدب است و می توان از روش بهینه سازی

محدب استاندارد^۱ برای بدست آوردن مقدار بیشینه مسئله مورد نظر استفاده نمود. از این رو بیشینه خطای مجری نهایی در هر شاخه i می توان با اعمال شش بهینه سازی محدب بدست آورد. در گام بعد باید بیشینه خطای مجری نهایی در ربات موازی را بدست آورد. از آنجاکه مقدار بیشینه هر یک از مؤلفه های خطای را یک از شاخه ها می توانند داشته باشند برابر است با $\max \delta \mathbf{E}_{i,k}$



شکل ۵: فضای کاری ربات‌های موازی کروی با زاویه ثابت $\theta = 0^\circ$. (آ) نمایش زاویه‌ای. (ب) نمایش در مختصات دکارتی

Fig. 5: SPMs workspace with $\theta = 0^\circ$. (a) Angular representation. (b) Cartesian representation.

بسته نرمافزاری بهینه سازی سی‌وی‌ایکس^۱ (بسته نرمافزاری برای تشخیص و حل مسائل محدب [۳۵ و ۳۶]) برای یافتن پاسخ مسئله استفاده شده است.

جدول‌های ۲ و ۳ مقادیر بیشینه و میانگین شش مؤلفه خطای موقعیت سکوی متحرک در کل فضای کاری سه ربات مورد بررسی را نشان می‌دهند.

همچنین به منظور مقایسه ربات‌ها از نورم ۲ مؤلفه‌های دورانی و مؤلفه‌های انتقالی بهتریب برای نمایش خطای جهت‌گیری و خطای جابجایی نقطه‌ای سکوی متحرک استفاده شده است.

شکل ۶ بیشینه خطای جابجایی نقطه‌ای و خطای جهت‌گیری در فضای کاری مورد نظر برای سه ربات را نشان می‌دهند. همانطورکه در این نمودارها نشان داده شده است، با افزایش زوایا از صفر، میزان خطای نیز افزایش می‌یابد و در مرزهای فضای کاری به بیشترین مقادیر خود می‌رسد.

با توجه به جدول ۲ و شکل ۶ (آ) می‌توان مشاهده نمود که کمترین مقدار بیشینه خطای جابجایی نقطه‌ای متعلق به ربات 3-RRR و برابر است با 57° /میلی‌متر، در حالی که این خطای در دو ساختار دیگر تقریباً برابر است.

در مورد خطای جهت‌گیری نیز ربات ۳-آر آر اس کمترین مقدار بیشینه خطای سکوی متحرک را دارد و برابر است با 16° درجه.

$$\Delta\theta_{i,j} = 0.01 \text{ rad} = 0.57^\circ \quad (28)$$

$$\Delta\rho_{i,j} = 0.1 \text{ mm} \quad (29)$$

$$\Delta\sigma_{i,j} = 0.1 \text{ mm} \quad (30)$$

$$\Delta\varepsilon_{i,j} = 0.2 \text{ mm} \quad (31)$$

همانطورکه پیش‌تر ذکر شد، در مدل استفاده شده در این مقاله می‌توان علاوه بر لقی مفاصل، خطای عملگرها را نیز لحاظ نمود. بدین منظور این خطای به عنوان مؤلفه سوم خطای دورانی در مفاصل فعال در نظر گرفته شده و مقدار بیشینه آن نیز به صورت زیر فرض می‌شود:

$$\Delta\omega_{i,j} = 0.01 \text{ rad} = 0.57^\circ \quad (32)$$

پس از مشخص شدن قیدها، برای یافتن هر یک از مؤلفه‌های خطای سکوی متحرک، معادله (۲۴) باید در هر یک از نقاط مشخص شده در فضای کاری ربات که در شکل ۵ نمایش داده شده است، حل شود. در نتیجه برای رسیدن به $\max \delta E$ باید برای هر یک از نقاط، شش مسئله بهینه‌سازی حل گردد.

همانطورکه در بخش‌های پیشین اشاره شد، مسئله پیش رو همه شرایط یک مسئله بهینه‌سازی محدب را دارد. به همین دلیل از

جدول ۲: مقدار بیشینه هر یک از مؤلفه های خطای موقعت در کل فضای کاری مورد نظر برای سه ربات موازی کروی

Table 2: Maximum values of each component of the moving platform pose error in prescribed workspace for three spms

-۳-آر.آر.آر	-۳-آر.آر.اس	-۳-آر.اس.آر	
۰/۳۴	۰/۳۷	۰/۳۸	خطای انتقالی در راستای محور x (mm)
۰/۳۴	۰/۳۷	۰/۳۸	خطای انتقالی در راستای محور y (mm)
۰/۳	۰/۳۴	۰/۳	خطای انتقالی در راستای محور z (mm)
۱/۲۸	۰/۹۳	۱/۰۲	خطای دورانی حول محور x (deg)
۱/۲۸	۱/۰۲	۱/۰۴	خطای دورانی حول محور y (deg)
۱/۴۵	۱/۰۴	۰/۹۸	خطای دورانی حول محور z (deg)
۰/۵۷	۰/۶۳	۰/۶۱	خطای جابجایی نقطه ای (mm)
۲/۴۳	۱/۶۵	۱/۶۹	خطای جهتگیری (deg)

جدول ۳: مقدار میانگین هر یک از مؤلفه های خطای موقعت در کل فضای کاری مورد نظر برای سه ربات موازی کروی

Table 3: Mean values of each component of the moving platform pose error in prescribed workspace for three spms

-۳-آر.آر.آر	-۳-آر.آر.اس	-۳-آر.اس.آر	
۰/۳۲	۰/۳۴	۰/۳۳	خطای انتقالی در راستای محور x (mm)
۰/۳۲	۰/۳۵	۰/۳۴	خطای انتقالی در راستای محور y (mm)
۰/۳	۰/۳۳	۰/۳	خطای انتقالی در راستای محور z (mm)
۱/۲۲	۰/۶۶	۰/۷۸	خطای دورانی حول محور x (deg)
۱/۳	۰/۷۸	۰/۷۸	خطای دورانی حول محور y (deg)
۱/۳۱	۰/۸	۰/۷۸	خطای دورانی حول محور z (deg)
۰/۵۵	۰/۵۹	۰/۵۶	خطای جابجایی نقطه ای (mm)
۲/۲۱	۱/۳	۱/۴۱	خطای جهتگیری (deg)

که در آن A و B به ترتیب ماتریس ژاکوبین مستقیم و معکوس ربات موازی نامیده شده و با روابط زیر محاسبه می شوند:

$$A = \begin{bmatrix} (w_1 \times v_1)^T \\ (w_2 \times v_2)^T \\ (w_3 \times v_3)^T \end{bmatrix} \quad (34)$$

$$B = \begin{bmatrix} (w_1 \times v_1)^T u_1 & 0 & 0 \\ 0 & (w_2 \times v_2)^T u_2 & 0 \\ 0 & 0 & (w_3 \times v_3)^T u_3 \end{bmatrix} \quad (35)$$

نحوه محاسبه ژاکوبین ربات در پیوست ذکر گردیده است. لازم به ذکر است که فضای کاری معرفی شده برای ربات، فضای کاری عاری از تکینگی است و ماتریس های ژاکوبین معرفی شده در این فضای کاری معکوس پذیرند.

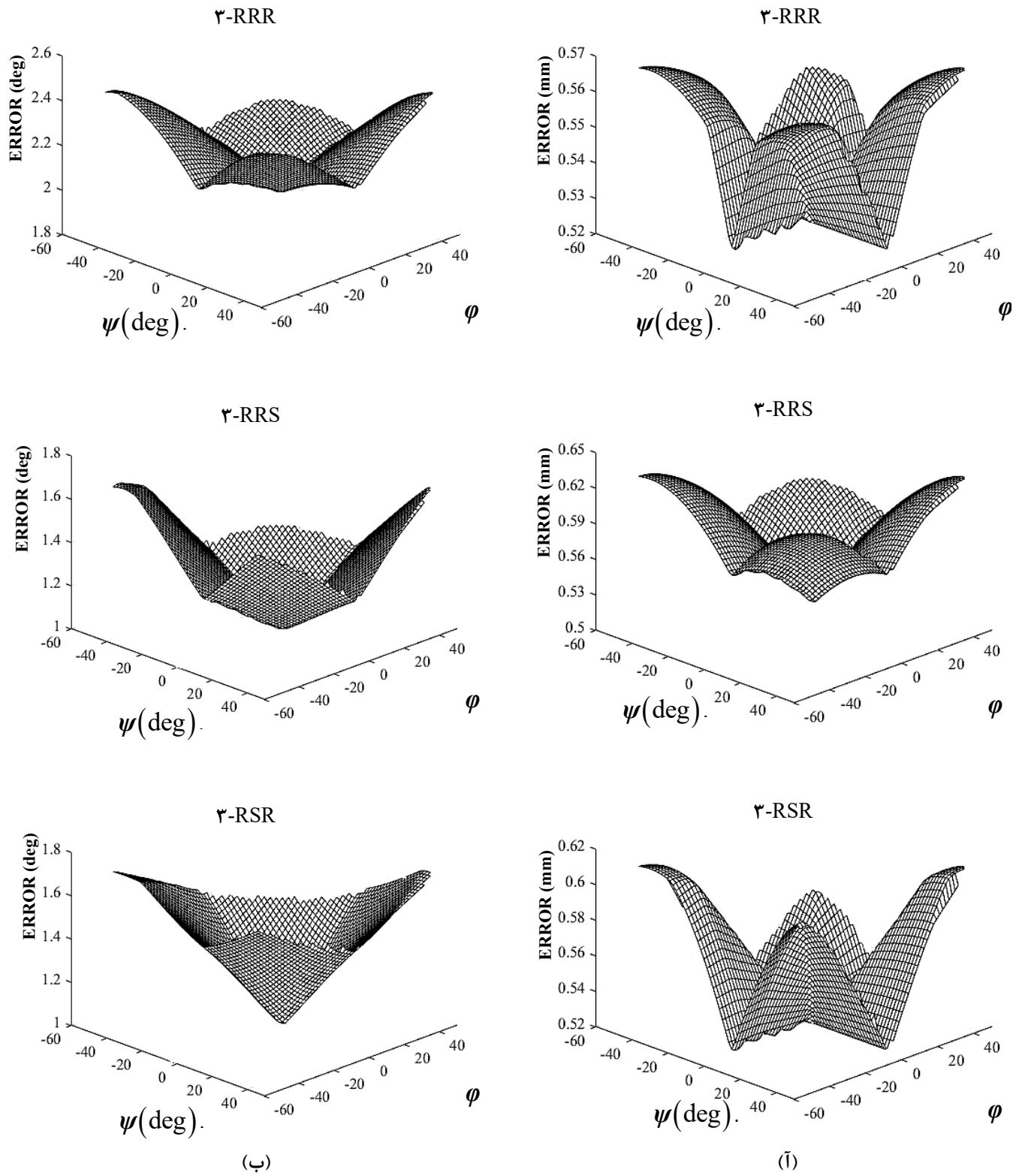
علاوه بر این مقدادیر میانگین بیشینه خطای جابجایی نقطه ای و جهتگیری نیز در جدول ۳ نشان داده شده اند. در این مورد نیز کمترین مقدار میانگین خطای جابجایی نقطه ای و جهتگیری به ترتیب به ربات های RRR-3 و -۳-آر.آر.اس تعلق دارد.

۶- مقایسه مدل پیشنهادی با شاخص های عملکرد

تاکنون شاخص های مختلفی برای اندازه گیری میزان کارایی و دقیقت ربات ها معرفی شده اند. این شاخص ها بر مبنای ژاکوبین ربات هستند. از این رو باید ابتدا ژاکوبین سه ربات مورد بررسی قرار گیرد

(نحوه محاسبه ژاکوبین ربات در پیوست ارائه شده است). رابطه بین سرعت مفاصل فعلی، $\dot{\theta}$ ، و سرعت زاویه ای سکوی متحرک، ω ، را می توان به صورت زیر نشان داد [۱۸]:

$$A\omega = B\dot{\theta} \quad (33)$$



شکل ۶: (آ) بیشینه خطای جابجایی نقطه‌ای سه ربات موازی کروی در فضای کاری تعریف شده. (ب) بیشینه خطای جهت‌گیری سه ربات موازی کروی در فضای کاری تعریف شده.

Fig. 6: (a) Maximum position error of three types of SPMs in defined workspace. (b) Maximum orientation error of three types of SPMs in defined workspace.

$$\kappa \equiv \| \mathbf{K} \| \| \mathbf{K}^{-1} \| \quad (39)$$

عدد وضعیت حد بالای میزان تشدید خطای نسبی را مشخص می‌کند. در رابطه فوق $\| \cdot \|$ نشان‌دهنده نورم ماتریس است. عدد وضعیت همواره در بازه $[1/100]$ قرار دارد. از این‌رو در این مقاله از عکس عدد وضعیت که در بازه $[1/10]$ است، برای نمایش آن استفاده می‌شود.

حساسیت سینماتیکی

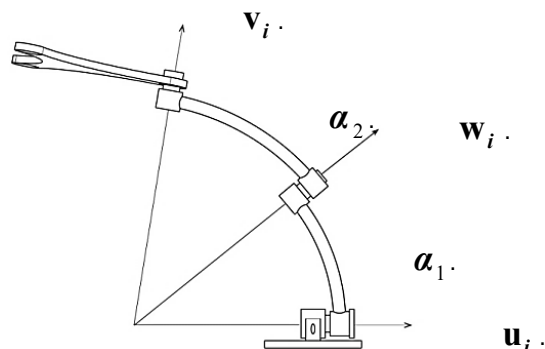
یکی از نقاط ضعف مهم دو شاخص پیشین این است که در ربات‌هایی که هم درجه آزادی دورانی و هم درجه آزادی انتقالی دارند، به عبارت دیگر ژاکوبین آن‌ها همگن نیست، این دو شاخص کمیت فیزیکی معناداری ارائه نمی‌دهند. از این‌رو شاخص دیگری با نام حساسیت سینماتیکی^۴ معرفی شده است. با توجه به مرجع [۲۷]، حساسیت سینماتیکی به صورت بیشینه جابجایی (انتقال یا دوران) مجری نهایی در اثر جابجایی عملگرها با نورم واحد در فضای مفصلی تعریف می‌شود. در حالت کلی دو نوع حساسیت سینماتیکی دورانی و انتقالی وجود دارد که به صورت زیر تعریف می‌شوند:

$$\sigma_{r_{cf}} \equiv \max_{\rho_c=1} \phi_f, \quad \sigma_{p_{cf}} \equiv \max_{\rho_c=1} \mathbf{p}_f \quad (40)$$

که در آن اندیس‌های r و p به ترتیب برای حساسیت سینماتیکی دورانی و انتقالی به کار می‌روند. همچنین اندیس‌های c و f به ترتیب مرتبه نورم قید و نورم تابع هدف را نشان می‌دهند.

همانطورکه در روابط مربوط به شاخص‌های معرفی شده مشاهده می‌شود، نورم انتخابی برای بدست آوردن این شاخص‌ها بسیار مهم می‌باشد. مرتلت [۳۳] نشان داد که باید خطای جابجایی مفصلی را مستقل در نظر گرفت، از این‌رو باید از نورم ۱۰۰ برای مشخص نمودن عدم قطعیت مفاصل در فضای مفصلی استفاده نمود و در این مقاله نیز از نورم ۱۰۰ ای نمایش خطا در فضای مفصلی استفاده خواهد شد. سعادت‌زی و همکاران [۳۲] نیز از ترکیبات مرتبه‌های نورم ۲ و ۵۰ برای بدست آوردن شاخص‌های حساسیت سینماتیکی استفاده کردند.

با توجه به مطالب ارائه شده در این بخش، واضح است که هر یک از شاخص‌های معرفی شده مزايا و معایبی دارند و هیچ یک تعریف کاملی از عملکرد ربات ارائه نمی‌دهند. از این‌رو در این بخش از مقاله به



شکل ۷: پارامترهای هندسی یک بازو

Fig. 7: One limb geometric parameters

همانطورکه در شکل ۷ نشان داده شده است، u_i ، v_i و w_i به ترتیب محورهای مفصل فعال، مفصل میانی و مفصل متصل به سکوی متحرک هر یک از بازوها هستند.

در نهایت ژاکوبین ربات‌های مذکور به شکل زیر تعریف می‌شود:

$$\dot{\theta} = \mathbf{K}\omega \quad (36)$$

که در این رابطه \mathbf{K} به صورت زیر است:

$$\mathbf{K} = \mathbf{B}^{-1} \mathbf{A} \quad (37)$$

مرلت [۳۳] به صورت جامع به بررسی این شاخص‌ها پرداخته است. در این بخش به صورت خلاصه متدائل‌ترین شاخص‌های سینماتیکی-استاتیکی معرفی خواهند شد.

حرکت پذیری

حرکت پذیری^۱ در ربات‌های موازی با رابطه زیر تعریف می‌شود [۳۷]:

$$\mu \equiv 1 / \sqrt{\det(\mathbf{K}^T \mathbf{K})} \quad (38)$$

در واقع از نظر هندسی، حرکت پذیری شاخصی است که حجم بیضی‌گون در فضای کاری بدست‌آمده با استفاده از نگاشت با ماتریس \mathbf{K} را با حجم کره n -بعدی در فضای مفصلی مرتبط می‌سازد. بنابراین این شاخص مقیاسی از میزان حرکت مجری نهایی بر اساس جابجایی در مفاصل فعلی در اختیار می‌گذارد. با این حال این شاخص اطلاعاتی راجع به شکل بیضی‌گون در اختیار نمی‌گذارد.

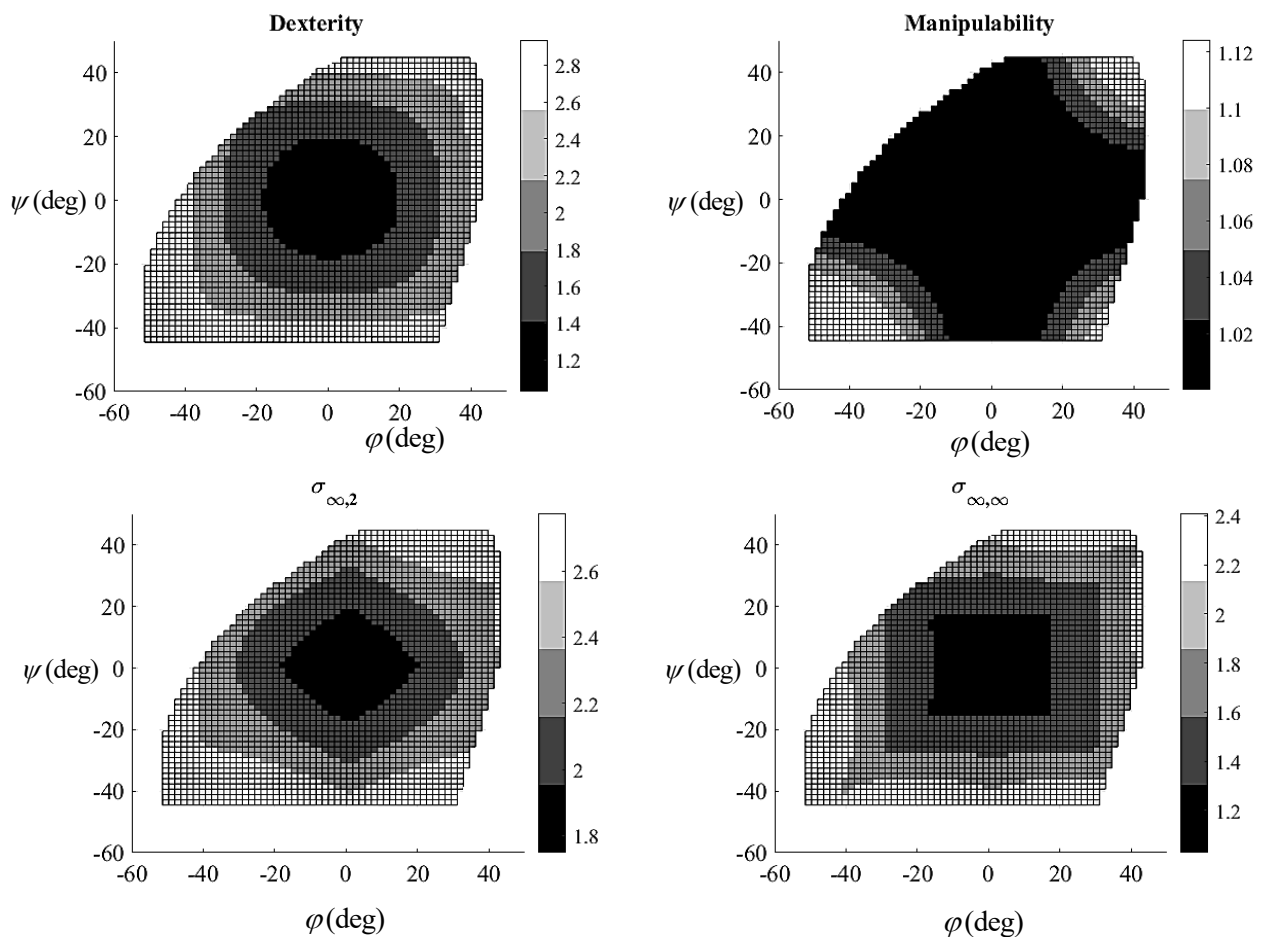
مهارت

یک شاخص محلی دیگر مهارت^۲ است که در واقع عدد وضعیت^۳ ماتریس ژاکوبین بوده و به صورت زیر تعریف می‌شود:

1 Manipulability

2 Dexterity

3 Condition Number



شکل ۸: شاخص‌های عملکرد در فضای کاری تعریف شده.

Fig. 8: Performance indices in defined workspace.

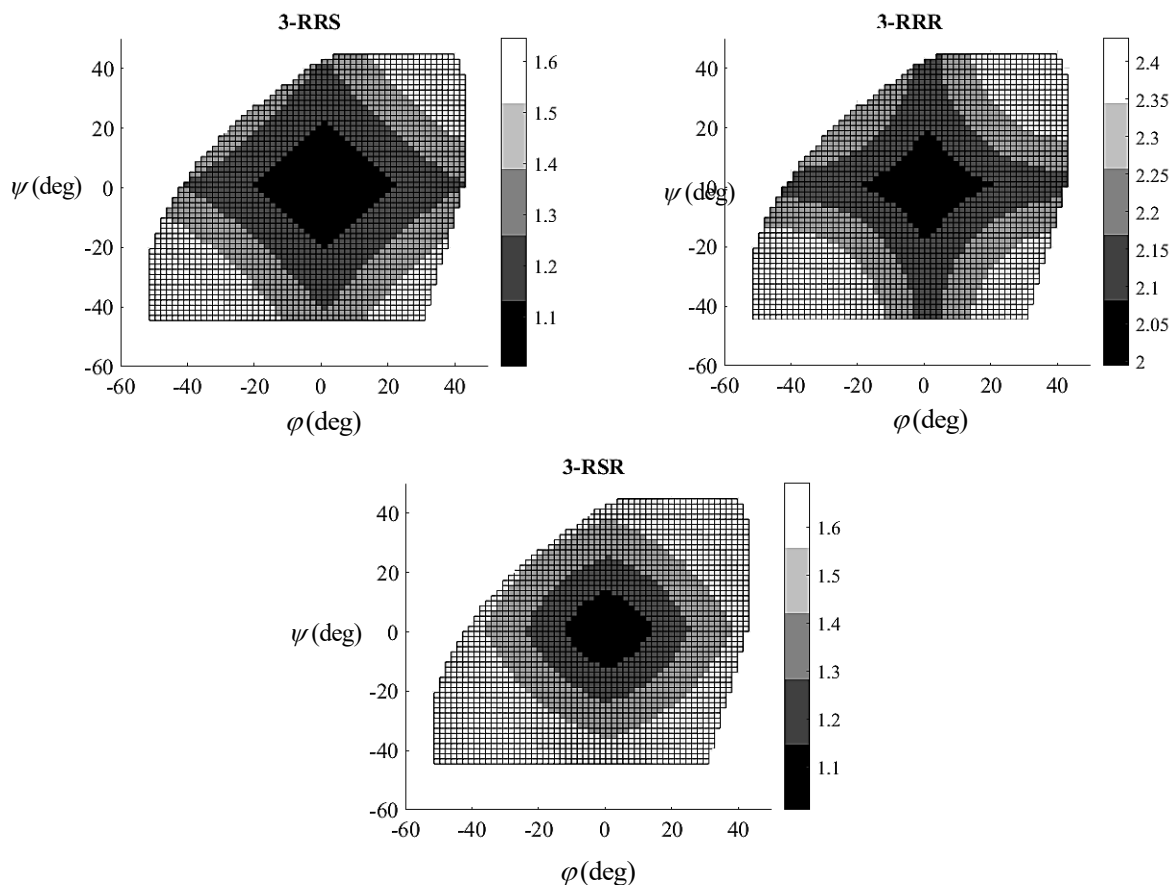
همچنین روند افزایش مقدار دو شاخص مهارت و شاخص حساسیت سینماتیکی با نورم قیدی ∞ و نورم تابع هدف ∞ ($\sigma_{\infty,\infty}$) برابر با روند افزایش خطای در فضای کاری نمی‌باشد. اما با مقایسه منظمه با روند افزایش خطای در فضای کاری مقدی ∞ نورم تابع هدف 2 ($\sigma_{\infty,2}$) نمودار بیشینه خطای سه ربات معرفی شده، می‌توان دریافت که روند میزان افزایش این شاخص تطابق خوبی با میزان افزایش خطای مجری نهایی دارد. از این‌رو می‌توان این شاخص را به عنوان مناسب‌ترین شاخص برای بررسی دقیق ربات پیشنهاد نمود.

۷- نتیجه‌گیری

در این پژوهش یک ربات موازی کروی (3-RRR) با ساختار بیشینه محدود و دو ساختار نابیشینه محدود (۳-آر.آر.آس و ۳-آر.آس.آر.) از نقطه نظر دقیق مقایسه شدند. بدین منظور مدلی برای یافتن بیشینه خطای مجری نهایی بر اساس لقی در مفاصل ارائه شد که به یک

بررسی و مقایسه شاخص‌های فوق با مدل ارائه شده خواهیم پرداخت تا مشخص گردد، کدام شاخص با دقیق ربات تطابق بیشتری دارد. در این راستا هر یک از شاخص‌های معرفی شده، در فضای کاری مشخص شده، محاسبه و در شکل ۸ نمایش داده شده‌اند.

همانطور که پیش‌تر ذکر شد، به دلیل اینکه ژاکوبین هر سه ربات یکسان است، در نتیجه شاخص‌های معمول که مبتنی بر ژاکوبین هستند برای سه ربات یکسان است. از آنجاکه این ربات فقط سه درجه آزادی دورانی دارد، این شاخص‌ها تنها عملکرد دورانی ربات را نشان می‌دهند. در نتیجه برای مقایسه شاخص‌های مذکور با بیشینه خطای سکوی متحرک، تنها می‌توان از بیشینه خطای جهت‌گیری استفاده نمود. شکل ۹ نمای دیگری از بیشینه خطای جهت‌گیری در فضای کاری مورد نظر را برای هر یک از سه ربات نشان می‌دهد. همانطور که در شکل‌های ۸ و ۹ مشخص است، شاخص حرکت‌پذیری نسبت به دقیق ربات حساسیت زیادی نداشت و میزان تغییرات آن بسیار اندک است.



شکل ۹: بیشینه خطای جهت‌گیری سه ربات موازی کروی در فضای کاری تعریف شده از نمایی دیگر

Fig. 9: Maximum orientation error of three types of SPMs in defined workspace from top view

حساسیت سینماتیکی $\sigma_{\infty,2}$ یشترین مطابقت را با دقت بدست آمده با مدل ارائه شده در این پژوهش دارد.

منابع

- [1] C.M. Gosselin, J.-F. Hamel, The agile eye: a high-performance three-degree-of-freedom camera-orienting device, in: Robotics and Automation, 1994. Proceedings., 1994 IEEE International Conference on, IEEE, 1994, pp. 781-786.
- [2] A. Safaryazdi, M. Zarei, O. Abolghasemi, M. Tale Masouleh, Experimental study on the model-based control of a 2-degree-of-freedom spherical parallel robot camera stabilizer based on multi-thread programming concept, Proceedings of the Institution of Mechanical Engineers, Part C: Journal of Mechanical Engineering Science, 232(10) (2018) 1882-1897.

مسئله بهینه‌سازی محدب منجر گردید. سپس برای یافتن بیشینه خطای مجری نهایی در فضای کاری مورد مطالعه، بیش از ۱۰۰۰ جهت‌گیری به منظور پوشش این فضای کاری در نظر گرفته شد. پس از آن شش مسئله بهینه‌سازی محدب برای بدست آوردن بیشینه مقدار مؤلفه‌های خطای مجری نهایی در هر یک از این جهت‌گیری‌ها حل گردید. نتایج نشان داد که کمترین مقدار بیشینه خطای جابجایی نقطه‌ای به ربات 3-RRR متعلق است. اما در مورد بیشینه خطای جهت‌گیری ربات‌های با ساختار نابیشینه مقید، خطای کمتری دارند و ربات ۳-آر-آر-اس با اختلافی اندک، بیشینه خطای کمتری دارد. این نتایج ثابت می‌کنند که می‌توان از ساختارهای نابیشینه مقید در طراحی ربات‌های موازی کروی استفاده نمود و در عین حال از دقت بالا نیز برخوردار بود. از سوی دیگر این ساختارها معاوی ساختار بیشینه مقید نظیر دشوار بودن مونتاژ و هزینه ساخت زیاد را ندارند. در گام آخر نیز مقایسه‌ای بین شاخص‌های عملکردی با دقت ربات‌های بررسی شده در این پژوهش، صورت گرفت. در نهایت نتایج نشان دادند که شاخص

- non-overconstrained spherical parallel manipulator, *Journal of Mechanical Design*, 126(5) (2004) 850-855.
- [13] X. Kong, C.M. Gosselin, Type synthesis of three-degree-of-freedom spherical parallel manipulators, *The International Journal of Robotics Research*, 23(3) (2004) 237-245.
- [14] A. Chaker, A. Mlika, M. Laribi, L. Romdhane, S. Zeghloul, Accuracy analysis of non-overconstrained spherical parallel manipulators, *European Journal of Mechanics-A/Solids*, 47 (2014) 362-372.
- [15] A. Chaker, A. Mlika, M. Laribi, L. Romdhane, S. Zeghloul, Clearance and manufacturing errors' effects on the accuracy of the 3-RCC Spherical Parallel Manipulator, *European Journal of Mechanics-A/Solids*, 37 (2013) 86-95.
- [16] S. Venanzi, V. Parenti-Castelli, A new technique for clearance influence analysis in spatial mechanisms, *Journal of Mechanical Design*, 127(3) (2005) 446-455.
- [17] J. Meng, D. Zhang, Z. Li, Accuracy analysis of parallel manipulators with joint clearance, *Journal of Mechanical Design*, 131(1) (2009) 011013.
- [18] N. Binaud, P. Cardou, S.p. Caro, P. Wenger, The kinematic sensitivity of robotic manipulators to joint clearances, in: ASME 2010 International Design engineering Technical Conferences and Computers and Information in Engineering Conference, American Society of Mechanical Engineers, 2010, pp. 1371-1380.
- [19] S. Mojtaba, S. Mousavi, A. Khoogar, M.T. Masouleh, Accuracy Comparison of Spherical Parallel Manipulators Based on Joint Clearance, in: 2017 5th RSI International Conference on Robotics and Mechatronics (ICRoM), IEEE, 2017, pp. 570-575.
- [20] G. Wu, S. Bai, S. Caro, Transmission Quality Evaluation for a Class of Four-limb Parallel Schönflies-motion Generators with Articulated Platforms, in: Computational Kinematics, Springer, 2018, pp. 282-290.
- [3] A. Chaker, A. Mlika, M.A. Laribi, L. Romdhane, S. Zeghloul, Synthesis of spherical parallel manipulator for dexterous medical task, *Frontiers of Mechanical Engineering*, 7(2) (2012) 150-162.
- [4] M.T. Masouleh, M.H. Saadatzi, C.m. Gosselin, H.D. Taghirad, A geometric constructive approach for the workspace analysis of symmetrical 5-PRUR parallel mechanisms (3T2R), in: ASME 2010 International Design Engineering Technical Conferences and Computers and Information in Engineering Conference, American Society of Mechanical Engineers, 2010, pp. 1335-1344.
- [5] C. Gosselin, J. Angeles, The optimum kinematic design of a spherical three-degree-of-freedom parallel manipulator, *Journal of mechanisms, transmissions, and automation in design*, 111(2) (1989) 202-207.
- [6] C.M. Gosselin, É. St-Pierre, Development and experimentation of a fast 3-DOF camera-orienting device, *The International Journal of Robotics Research*, 16(5) (1997) 619-630.
- [7] S. Bai, Optimum design of spherical parallel manipulators for a prescribed workspace, *Mechanism and Machine Theory*, 45(2) (2010) 200-211.
- [8] M. Daneshmand, M.H. Saadatzi, M.H.F. Kaloorazi, M.T. Masouleh, G. Anbarjafari, Optimal design of a spherical parallel manipulator based on kinetostatic performance using evolutionary techniques, *Journal of Mechanical Science and Technology*, 30(3) (2016) 1323-1331.
- [9] R. Di Gregorio, A new parallel wrist using only revolute pairs: the 3-RUU wrist, *Robotica*, 19(3) (2001) 305-309.
- [10] K. Al-Widyan, X.Q. Ma, J. Angeles, The robust design of parallel spherical robots, *Mechanism and Machine Theory*, 46(3) (2011) 335-343.
- [11] M. Karouia, J.M. Hervé, An orientational 3-dof parallel mechanism, in: Proceedings of the 3rd Chemnitz Parallel Kinematics Seminar, Chemnitz, Germany, April, 2002, pp. 23-25.
- [12] R. Di Gregorio, The 3-RRS wrist: a new, simple and

- matrices, Mechanism and Machine Theory, 105 (2016) 80-90.
- [32] M.H. Saadatzi, M.T. Masouleh, H.D. Taghirad, C. Gosselin, P. Cardou, Geometric analysis of the kinematic sensitivity of planar parallel mechanisms, Transactions of the Canadian Society for Mechanical Engineering, 35(4) (2011) 477-490.
- [33] J.-P. Merlet, Jacobian, manipulability, condition number, and accuracy of parallel robots, Journal of Mechanical Design, 128(1) (2006) 199-206.
- [34] C.M. Gosselin, E.S. Pierre, M. Gagne, On the development of the agile eye, IEEE Robotics & Automation Magazine, 3(4) (1996) 29-37.
- [35] M.C. Grant, S.P. Boyd, Graph implementations for nonsmooth convex programs, in: Recent advances in learning and control, Springer, 2008, pp. 95-110.
- [36] M. Grant, S. Boyd, Y. Ye, CVX: Matlab software for disciplined convex programming, in, 2008.
- [37] T. Yoshikawa, Analysis and control of robot manipulators with redundancy, in: Robotics research: the first international symposium, MIT press Cambridge, MA, USA, 1984, pp. 735-747.

- [21] M. Gallant, C. Gosselin, Singularities of a planar 3-RPR parallel manipulator with joint clearance, Robotica, (2018) 1-12.
- [22] J. Zhu, K.-L. Ting, Uncertainty analysis of planar and spatial robots with joint clearances, Mechanism and Machine Theory, 35(9) (2000) 1239-1256.
- [23] C. Innocenti, Kinematic clearance sensitivity analysis of spatial structures with revolute joints, Journal of mechanical design, 124(1) (2002) 52-57.
- [24] M.-J. Tsai, T.-H. Lai, Accuracy analysis of a multi-loop linkage with joint clearances, Mechanism and machine theory, 43(9) (2008) 1141-1157.
- [25] P. Voglewede, I. Ebert-Uphoff, Application of workspace generation techniques to determine the unconstrained motion of parallel manipulators, Journal of Mechanical Design, 126(2) (2004) 283-290.
- [26] P.D. Lin, J.F. Chen, Accuracy analysis of planar linkages by the matrix method, Mechanism and Machine Theory, 27(5) (1992) 507-516.
- [27] P. Cardou, S. Bouchard, C. Gosselin, Kinematic-sensitivity indices for dimensionally nonhomogeneous jacobian matrices, IEEE Transactions on Robotics, 26(1) (2010) 166-173.
- [28] M. Daneshmand, M.H. Saadatzi, M.T. Masouleh, Kinematic sensitivity and workspace optimization of planar parallel mechanisms using evolutionary techniques, in: Robotics and Mechatronics (ICRoM), 2013 First RSI/ISM International Conference on, IEEE, 2013, pp. 384-389.
- [29] M. Saadatzi, M.T. Masouleh, H. Taghirad, C. Gosselin, M. Teshnehab, Multi-objective Scale Independent Optimization of 3-RPR Parallel Mechanisms, Proceedings of the IFToMM, (2011).
- [30] A.G. Hoevenaars, C. Gosselin, P. Lambert, J.L. Herder, Experimental validation of Jacobian-based stiffness analysis method for parallel manipulators with nonredundant legs, Journal of Mechanisms and Robotics, 8(4) (2016) 041002.
- [31] A. Hoevenaars, C. Gosselin, P. Lambert, J. Herder, Consistent modeling resolves asymmetry in stiffness

پیوست

نحوه محاسبه ژاکوبین

در این بخش با استفاده از تئوری پیچه و تویست مربوط به مفاصل، نحوه محاسبه ژاکوبین ربات با توجه به [۶] شرح داده می‌شود. سه پیچه واحد مربوط به مفاصل هر شاخه که در شکل ۷ نمایش داده شده است، به صورت زیر هستند:

$$\hat{\$}_{ui} = \begin{bmatrix} \hat{\mathbf{u}}_i \\ \mathbf{0} \end{bmatrix}, \quad \hat{\$}_{wi} = \begin{bmatrix} \hat{\mathbf{w}}_i \\ \mathbf{0} \end{bmatrix}, \quad \hat{\$}_{vi} = \begin{bmatrix} \hat{\mathbf{v}}_i \\ \mathbf{0} \end{bmatrix} \quad (41)$$

همچنین سرعت زاویه‌ای متناظر با مفصل فعال هر شاخه با $\dot{\theta}_i$ ، مفصل میانی با $\dot{\phi}_i$ و مفصل متصل به سکوی متحرک با $\dot{\psi}_i$ نمایش داده می‌شود. با در نظر گرفتن هر شاخه به عنوان یک زنجیره سینماتیکی باز و نمایش تویست سکوی متحرک با $\$,_e = [\mathbf{\Omega}_e^T \quad \mathbf{V}_o^T]$ ، می‌توان آن را به صورت جمع تویست‌های مفاصل هر شاخه و به صورت زیر نوشت:

که در آن \mathbf{A} و \mathbf{B} به ترتیب ژاکوبین مستقیم و معکوس نامیده شده و به صورت زیر هستند:

$$\mathbf{A} = \begin{bmatrix} (\hat{\mathbf{w}}_1 \times \hat{\mathbf{v}}_1)^T \\ (\hat{\mathbf{w}}_2 \times \hat{\mathbf{v}}_2)^T \\ (\hat{\mathbf{w}}_3 \times \hat{\mathbf{v}}_3)^T \end{bmatrix} \quad (45)$$

$$\mathbf{B} = \begin{bmatrix} (\hat{\mathbf{w}}_1 \times \hat{\mathbf{v}}_1)^T \mathbf{u}_1 & 0 & 0 \\ 0 & (\hat{\mathbf{w}}_2 \times \hat{\mathbf{v}}_2)^T \mathbf{u}_2 & 0 \\ 0 & 0 & (\hat{\mathbf{w}}_3 \times \hat{\mathbf{v}}_3)^T \mathbf{u}_3 \end{bmatrix} \quad (46)$$

در نهایت ژاکوبین کامل ربات که رابطه بین سرعت مفاصل فعال و سرعت مجری نهایی را نشان می‌دهد، با J نشان داده شده و به صورت زیر تعریف می‌شود:

$$\dot{\theta} = \mathbf{B}^{-1} \mathbf{A} \omega_e = \mathbf{K} \omega_e \quad (47)$$

$$\$_e = \dot{\theta}_i \hat{\$}_{ui} + \dot{\varphi}_i \hat{\$}_{wi} + \dot{\sigma}_i \hat{\$}_{vi} \quad (42)$$

برای بدست آوردن ماتریس ژاکوبین ورودی-خروجی، باید معادله فوق را در رنچی که فقط با پیچه مفاصل غیرفعال متقابل است، ضرب نماییم. از این رو رنج متقابل پیچه مفاصل غیرفعال ($\hat{\$}_{vi}$ و $\hat{\$}_{wi}$) رنچی است که به صفحه متشکل از بردارهای $\hat{\mathbf{w}}_i$ و $\hat{\mathbf{v}}_i$ عمود بوده و به صورت زیر تعریف می‌شود:

$$\xi_i = \begin{bmatrix} \mathbf{0}_{3 \times 1} \\ \hat{\mathbf{w}}_i \times \hat{\mathbf{v}}_i \end{bmatrix} \quad (43)$$

حال با ضرب متقابل دو طرف معادله (42) در رنج فوق و با توجه به صفر بودن سرعت خطی مجری نهایی، ماتریس ژاکوبین این ربات به صورت زیر محاسبه می‌شود:

$$\mathbf{A} \omega_e = \mathbf{B} \dot{\theta} \quad (44)$$

